

Effect of Ultraviolet Radiation and Alpha-particles on Nuclear Track Detector CR-39

Z. H. Mohialdeen¹, M. A. D. Al-Jubbori^{2*}

^{1,2} Department of Physics, College of Education for Pure Sciences, University of Mosul, Mosul, Iraq

Article information

Article history:

Received: December 18, 2022

Revised: January 22, 2023

Accepted: January 23, 2023

Available online: June 01, 2023

Keywords:

UV
alpha particles
CR_39 detector
Bulk etching rate
track lengths.

Correspondence:

M. A. D. Al-Jubbori
mushtaq_phy8@yahoo.com

Abstract

In this work, the bulk etch rate V_B is calculated using various methods, including the removed thickness, the saturation track, and the length-diameter track. A 200 μm -thick CR-39 detector manufactured by Page Moldings (Pershore) in the United Kingdom was cut into several identical pieces ($1 \times 1 \text{ cm}^2$). In order to obtain longitudinal track profiles, these sheets were exposed to alpha particles with an energy of 2.6 MeV emitted from a ^{241}Am source, followed by 30 minutes of exposure to UV light. The CR-39 samples were etched in a 6.25 N NaOH solution at 70° C. These tracks are etched for 15 minutes before being digitally photographed with an optical microscope. It was established that the predominant lengths of alpha particle tracks are those that fall perpendicular to the detector surface. The bulk etch rates for CR-9 were found to be 1.227 $\mu\text{m}/\text{h}$ for irradiation with alpha, and 2.035 $\mu\text{m}/\text{h}$ for irradiation with UV and then alpha particles.

المقدمة:

تُعرف كواشف الأثر النووي الصلبة بأنها مواد عازلة كهربائية أو شبه موصلة صناعية لها القدرة على تخزين أثار الجسيمات المؤينة فيها لفترة طويلة ، واظهرها على شكل أثار لأضرار جسيمية عند تعرضها للجسيمات المؤينة يتولد فيها مساراً ضيقاً لضرر الجسيمات يسمى الأثار المستترة وتتشكل هذه الأثار عند مرور جسيمات ألفا او شظايا الانشطار او الجسيمات غير المشحونة مثل النيترون ، ويتم التعرف على الجسيم الساقط وطاقته من شكل الأثار ومسارات الضرر ، لذلك تستخدم كواشف الأثر النووي الصلبة للكشف عن الجسيمات المشحونة والنيترونات ، ويتم الكشف عن النيترونات من خلال قياس الأثار التي تنتجه البروتونات المرتدة من سقوط النيترون [1-3].

تمتاز كواشف الأثر النووي الصلبة بخصائص عديدة جعلت منها أداة فعالة في الكشف عن الجسيمات المشحونة وشظايا الانشطار وكذلك النيترونات [4]. وتملك هذه الكواشف خصائص عدة متوفرة، فليلة التكالفة، سهولة التعامل معها ولا تحتاج إلى الأجهزة الإلكترونية وإمدادات الطاقة مما يعطي مرونة كبيرة في استخدامها في المناطق التي لا يمكن فيها توصيل الأجهزة الإلكترونية وغيرها من المتطلبات التي تحتاجها أجهزة الكشف الإلكترونية. من بين الخصائص الأخرى لهذه الكواشف أنها تتمتع بالاستجابة والكافأة وتتميز بدرجة كبيرة من التجانس والانتظام في مادتها، وشفافيتها الضوئية العالية ، فضلاً عن سهولة إظهار أثار الجسيمات المشحونة فيها بسبب وفرة من المحاليل الكيميائية الفاشطة [10-5]. وقدرتها الكبيرة على الاحتفاظ بأثاره لفترة طويلة في الظروف العاديّة [12][11].

نتيجة لهذه الخصائص العامة وغيرها من الخصائص الإضافية التي يتميز بها كل كواشف أثر نووي صلب ، اعتماداً على نوعه وتركيبه الكيميائي ، توسيعت مجالات استخدامه وتضاعفت وتطورت ودخلت مجالات علمية وعملية وتكنولوجية كثيرة ، خاصة في التقنيات المعاصرة [13-16]. وبالتالي ، يتم استخدامه في تحديد أعمار المناطق الجيولوجية والصخور ، وفي علم الأثار ، وفي اكتشاف الجسيمات الثقيلة المشحونة مثل شظايا الانشطار النووي ، وفي تمييزها عن الجسيمات الأخف ، وفي تحديد تركيزات غاز الرادون والليورانيوم في المواد والماء. و التربة وفي التنبؤ بحدوث الزلازل عن طريق قياس التغير في تركيز غاز الرادون المنبعثة من التشققات في التربة الواقعة على الخط الزلزالي لنك المنطق ، وكذلك في دراسة طاقة الأيونات وال المجالات الطبيعية [17-20].

يعتبر كاشف الأثر النووي CR-39 مادة بلاستيكية شفافة يُعرف بـ PADC أو بولي ثاني الأثيلين كلائيول ، وثاني اليل الكاربونات [21]. يحضر هذا الكاشف من عملية البلمرة لكاربونات الأليلي دايكلول المتعدد Ploy Ally diglycol Carbonat (C₁₂H₁₈O₇) ، وان الوزن الجزيئي المكافئ له يساوي 274 وكتافة مادته (1.32 g/cm³) [10][22] ، ولا يحتوى في تركيبته على النيتروجين.

درس Tse et al تأثيرات فتوونات الأشعة فوق البنفسجية بأطوال موجية مختلفة (أي UVA + B و UVC) على PADC (كربونات polyallyl diglycol) كما قام بدراسة التعديلات الكيميائية بواسطة مطياف فورييه لتحويل الأشعة تحت الحمراء (FTIR) كما تم تحديد الخواص الميكانيكية النانوية المقابلة PADC ولوحظ أيضاً أن التعرض للأشعة فوق البنفسجية تسبب في معدل حفر أكبر نسبياً في بداية الحفر. ومع ذلك ، انخفض معدل الحفر بالجملة مع عمق عينة بسبب انخفاض معدل انتشار الأكسجين في مناطق أعمق [23].

ناقشت Tse et al آثار التعرض للأشعة فوق البنفسجية على أجهزة الكشف عن المسار النووي ذات الحالة الصلبة وأكد أن التعرض للأشعة فوق البنفسجية يمكن أن يغير بشكل كبير معدل الحفر الأكبر (V_b) ومعدل حفر المسار (V_s) لكاشفات CR-39 بطول موجي قصير للأشعة فوق البنفسجية كما قام بدراسة التغيرات في الخواص الكيميائية والفيزيائية والميكانيكية لكاشفات CR-39 تحت إشعاع الأشعة فوق البنفسجية جنباً إلى جنب مع آليات تحل الصورة المقابلة من أجل شرح تباين سلوك الحفر لكاشفات CR-39 [24].

كما درس Jaleh et al تغير معدل القسط العام مع زمن التشيع وتبيّن أن معدل القسط العام يزداد بزيادة زمن التشيع بالأشعة فوق البنفسجية [25]. ودرس Kassim and Alkhayat تأثير التشيع بالأشعة فوق البنفسجية على معلمات الأثر النووي في كاشف CR-39 [26].

ان الهدف من الدراسة الحالية معرفة تأثير التشيع بالأشعة فوق البنفسجية على معلمات الأثر النووي في كاشف CR-39 وكذلك حساب معدل القسط العام V_B بطرائق مختلفة ومقارنة مع بعض النتائج العالمية.

الجانب النظري

هناك عدد من الطرائق لحساب معدل القسط العام V_B ومنها:

طريقة السمك المزال (Removed thickness method)

في هذه الطريقة يتم قياس السمك المزال من سطح الكاشف $\Delta h(\mu m)$ لازمان قسط متعاقبة ($\Delta t(h)$) وتعطى V_B ب العلاقة التالية :

$$V_B = \frac{\Delta h}{2\Delta t} \quad \dots \dots \quad (1)$$

حيث يظهر العامل (2) في المقام كون عملية القسط تتم على وجهي الكاشف في آن واحد، عند حساب V_B بطريقة السمك المزال، يتم قسط الكاشف مباشرة بدون عملية التشيع ، ويتم قياس السمك المزال من سطح الكاشف إما باستخدام مجهر القوة الذرية AFM ، المعروف بطريقة عدم التقشر (peeled-off) ، أو باستخدام مجهر موصول بكاميرا رقمية متصلة بالحاسوب [27][2].

طريقة ثبوت الأثر (Track saturation method)

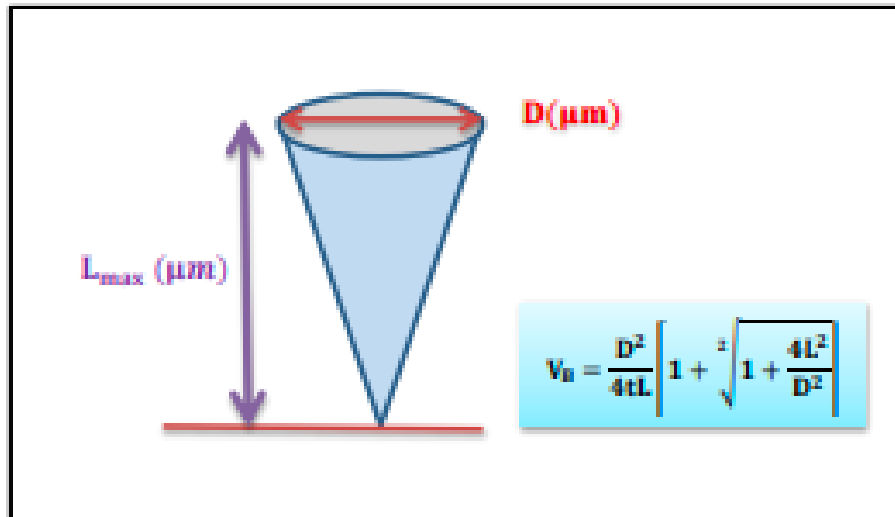
تعتبر هذه الطريقة حديّة نوعاً ما لقياس معدل القسط العام وذلك من خلال معلمات الأثر عند بداية ثبوته وهي كل من طول الأثر عند الثبوت ويسمي أقصى طول اثر L_{max} (μm) والذي يقلّب زمن الثبوت (t_{sat}) (hr) وبإيجاد مدى جسيمات ألفا ($R(\mu m)$) في الكاشف CR - 39 من برنامج SRIM [28] تم قياس معدل القسط العام من المعادلة التالية [2][14] :

$$V_B = \frac{R-L_{max}}{t_{sat}} \quad \dots \dots \quad (2)$$

طريقة قطر-طول الأثر (D_L_e method) :

تعتمد هذه الطريقة على طول قطر الأثر في مرحلة النمو أي في مرحلة المخروط المنتظم وتنطلب هذه الطريقة دقة في قياسات طول الأثر المقشوّط في مرحلة نموه V_B وكذلك قطره $D_e(\mu m)$ والشكل (1) يوضح معلمات الأثر المقشوّط في مرحلة المخروط المنتظم ويمكن إيجاد V_B من العلاقة الآتي [29][2]:

$$V_B = \frac{D^2}{4tL} \left[1 + \sqrt{1 + \frac{4L^2}{D^2}} \right] \quad \dots \dots \quad (3)$$



الشكل (1): معدل القشط العام بطريقة علاقة قطر _ طول الأثر [30].

طريقة العمل :

في هذا البحث قطع كاشف الأثر النووي في الحالة الصلبة CR-39 ذات السماك 200 μm الى عدة أجزاء ذات مساحة ($1 \times 1\text{cm}^2$) حيث اشتملت الدراسة على حالتين : الحالة الاولى تم تشعيج كاشف الأثر النووي CR-39 بجسيمات ألفا من خلال مصدر الأمريشيوم ^{241}Am ذو فعالية ($1\mu\text{ci}$) وبطاقة جسيمات ألفا 2.6MeV وبزاوية سقوط عمودية على سطح الكاشف CR-39 أما الحالة الثانية فقد شععت قطعة أخرى من الكاشف CR-39 بالأشعة فوق البنفسجية UV (342nm) لمرة نصف ساعة ثم شعع بجسيمات ألفا، بعد ذلك تم قشط الكاشفين بمحلول هيدروكسيد الصوديوم NaOH بتركيز 6.25N ودرجة حرارة ($70 \pm 1^\circ\text{C}$) من أجل الحصول على صور دقيقة لأطوال الأثار واقطرارها وسمك الطبقة المزالة عند ازمان قشطية متعددة بفترات زمنية (1_4 h) وبعد ذلك تم تصوير الأثار المتكونة في الكاشف عند ازمان قشط مختلفة عن طريق المجهر البصري (الضوئي) (XSZ-H Series Biological Microscope) المزود بكاميرا رقمية نوع PC (مرتبطة على حاسبة شخصية MADC_5A).

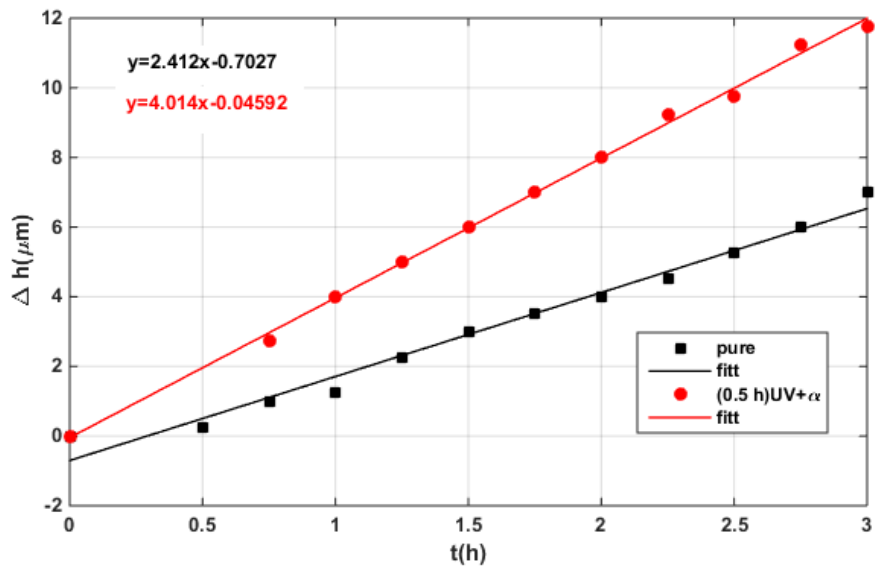
النتائج والمناقشات:

في كاشف CR-39 ، يمكن أن تسبب جسيمات ألفا والأشعة فوق البنفسجية في حدوث انشقاق كبير في السلسلة والربط المتبادل. في CR-39 ، تترك جزيئات ألفا وراءها أثراً وتسبب ضرراً دائماً على طول مساراتها. هذا الضرر يجعل من الصعب على الجذور الحرة أن تتحدد. نظراً لأنخفض متوسط الوزن الجزيئي للمسار ألفا ، يمكن استخدام محلول هيدروكسيد الصوديوم للتعرف عليه بسهولة. في معظم الأوقات ، يؤدي تشعيج البوليمرات بالأشعة فوق البنفسجية إلى إثارة جزيئية في البداية ، تليها معالجة لاحقة في هذه السلسلة. النتائج التجريبية للحد الأقصى لطول المسار القابل للوصول ، ووقت التشيع ، ومعدل الحفر بالجملة يؤدي إعادة تركيب الجذور الحرة إلى الارتباط المتقطع ، مما يرفع معدل الحفر الكتني لأن المنتجات المحفورة أكثر قابلية للذوبان [31].

لاحظنا ان السماك المزال من الكاشف الثاني (المشع بـ UV ثم بـ ألفا) اكبر من السماك المزال من الكاشف الاول (المشع بـ الفا فقط) كما موضح الشكلين (2,3)لان تشعيج الكاشف UV يسرع من عملية القشط لازمان قشط متعددة (h) وباستخدام المعادلة (1) حيث في دراستنا الحالية وجدنا أن قيمة معدل القشط العام للكاشف الاول هي $1.206\mu\text{m/h}$ وللكاشف الثاني (المشع بـ UV ثم بـ ألفا) $2.007\mu\text{m/h}$.

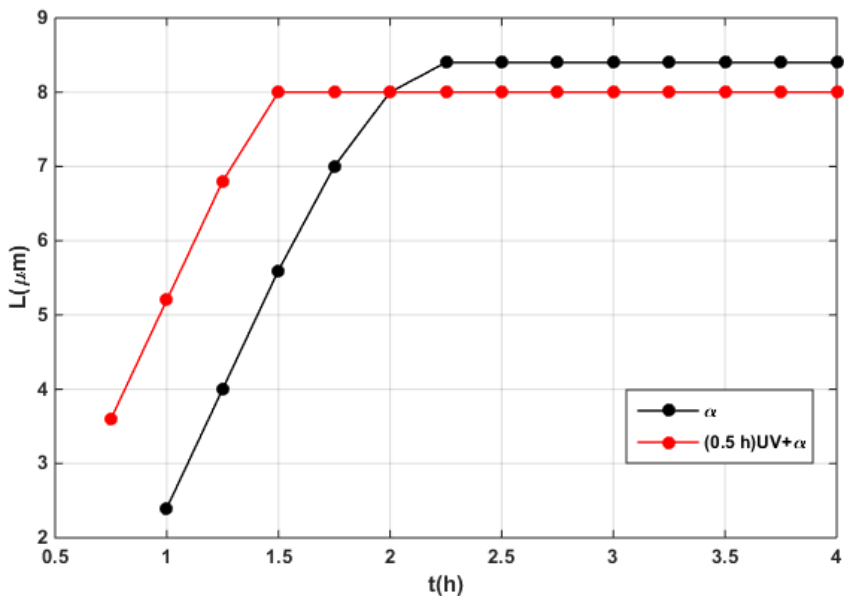


الشكل (2) صورة توضح التغير في سماكة الكاشف CR-39 في الحالتين قبل التشعيع بأشعة UV وبعده



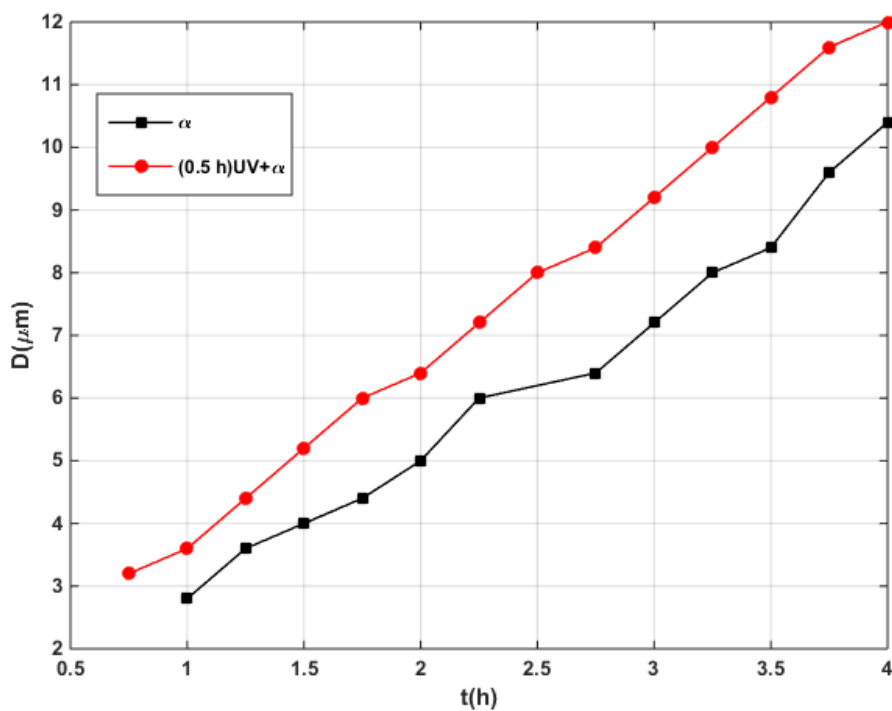
الشكل (3) علاقة توضح السماكة المزالة مع زمن القشط

نلاحظ ان طول الآثار المتكونة على سطح الكاشف المشع بجسيمات ألفا أكبر من طول الآثار المتكونة على سطح الكاشف المشع بالأشعة فوق البنفسجية UV ثم بجسيمات ألفا كما هو موضح في الشكل (4) نتيجة لتكسر الاوامر بعد التشعيع وتغلغل الاوكسجين في الكاشف وبالتالي فان معدل القشط العام للعينة الثانية أكبر من معدل القشط العام للعينة الاولى وباستخدام المعادلة (2) حيث ان قيمة V_B للعينة الاولى $1.204 \mu\text{m}/\text{h}$ وللعينة الثانية $2.073 \mu\text{m}/\text{h}$.



الشكل(4) : العلاقة بين طول الاثر المنشود وزمن القسط في الحالتين

ومن الشكل (5) نلاحظ ان اقطار الاثار للكاشف النووي CR_39 المشع بـ UV ثم الـ α اكبر من اقطار العينة الاولى من الكاشف النووي CR_39 المشع بالـ α فقط نتيجة زيادة معدل القسط العام بعد التشعيع كما هو موضح بالشكل (5) وبالتالي فان معدل القسط العام للعينة الثانية اكبر من معدل القسط العام للعينة الاولى وباستخدام المعادلة (3) حيث ان قيمة V_B للعينة الاولى $1.271 \mu\text{m}/\text{h}$ وللعينة الثانية $2.026 \mu\text{m}/\text{h}$



الشكل (5) يوضح العلاقة بين اقطار الاثار و زمن القسط

الجدول (1): قيم معدل الفشط العام بوحدات $\mu\text{m}/\text{h}$

Method	Removed layer	$V_B = \frac{R - L_{max}}{t_{sat}}$	L-D	mean
Present work	Alpha	1.206±0.221	1.204±0.069	1.271±0.075
	UV+alpha	2.007±0.172	2.073±0.113	2.026±0.056
Tse et al; 2006	Alpha	1.23	-----	-----
	UV+alpha	2.12	-----	-----
Kassim and Alkhayat, 2021	Alpha	-----	0.92±0.001	-----
	UV+alpha	-----	1.12±0.001	-----

الاستنتاجات:

في الدراسة الحالية شع كاشف الأثر النووي بجسيمات الفا وأشعة فوق البنفسجية ويوضح ان هنالك فرقاً واضحاً بتأثير الاشعة فوق البنفسجية على الكاشف. حيث نلاحظ ان زمن الشورت للأثر يقل عند التشعيع بالأشعة فوق البنفسجية عما هو التشعيع بالفا فقط وهذا يتفق مع دراسة 2021, Kassim and Alkhayat, كذلك ينطبق الحال على اقطار اثار الفا اذ يتضح ان القطر تبدو اكبر لنفس زمن التشعيع عند التشعيع باشعة UV. حسب معدل الفشط العام بثلاثة طرق وهي طريقة السمك المزدوج وطريقة ثبوت الأثر إضافة الى طريقة قطر-طول الأثر وكانت القيم 1.204 and $1.271 \mu\text{m}/\text{h}$ (1.206) للطرق الثلاثة على التوالي. ومن الجدول (1) يتبيّن ان هنالك توافقاً جيداً ، وان معدل الفشط العام للكاشف يزداد بالتشعيع بالأشعة فوق البنفسجية عما هو مشع بجسيمات الفا فقط وهذا يتفق مع الدراسات الحديثة . كما يتضح من الدراسة الحالية تقارب في قيم معدل الفشط العام المحسوبة بالطرق الثلاث.

شكر وتقدير

يود ان يشكر الباحثين عمادة كلية التربية للعلوم الصرفة قسم الفيزياء جامعة الموصل لتهيئة المستلزمات المطلوبة لإجراء البحث

References

- [1] M. A. Al-Jubbori, “Extension of alpha particles in CR-39-etched track depth model to heavier ions,” *Radiat. Eff. Defects Solids*, vol. 168, no. 11–12, pp. 1004–1010, Dec. 2013, doi: 10.1080/10420150.2013.811503.
- [2] M. A. Al-Jubbori, “A parameterization of the chemistry-normality dependence of bulk etch rate in a CR-39 detector,” *Appl. Radiat. Isot.*, vol. 118, no. September, pp. 228–231, Dec. 2016, doi: 10.1016/j.apradiso.2016.09.022.
- [3] Y. T. Al-Khalil, M. Fromm, E. M. Awad, R. B. Alkhayat, A. T. Zakar, and M. A. Al-Jubbori, “On the question of track etch rate amplitude variation in the Bragg-peak vicinity: Experimental verification for low-energy α -particle tracks in CR-39,” *Nucl. Instruments Methods Phys. Res. Sect. A Accel. Spectrometers, Detect. Assoc. Equip.*, vol. 1031, no. February, p. 166516, 2022, doi: 10.1016/j.nima.2022.166516.
- [4] B. Dorschel, D. Hermsdorf, U. Reichelt, S. Starke, and Y. Wang, “3D computation of the shape of etched tracks in CR-39 for oblique particle incidence and comparison with experimental results,” vol. 37, pp. 563–571, 2003, doi: 10.1016/S1350-4487(03)00243-9.
- [5] S. H. S. Al-niaemi and A. K. M. Al-ramadhni, “Bulk Etch Rate and the Activation Energy of the CR-39 Detector using Thickness Difference Method,” *Kirkuk Univ. J./Scientific Stud.*, vol. 13, no. 2, pp. 114–126, 2018.
- [6] K. N. Yu, F. M. F. Ng, and D. Nikezic, “Measuring depths of sub-micron tracks in a CR-39 detector from replicas using Atomic Force Microscopy,” *Radiat. Meas.*, vol. 40, no. 2–6, pp. 380–383, Nov. 2005, doi: 10.1016/j.radmeas.2005.03.011.
- [7] M. A. Al-Jubbori, “V-function to investigate tracks of the alpha particle irradiated CR-39 detector,” *Radiat. Meas.*, vol. 136, no. June, p. 106388, Aug. 2020, doi: 10.1016/j.radmeas.2020.106388.
- [8] D. Hermsdorf and M. Hunger, “Determination of track etch rates from wall profiles of particle tracks etched in direct

- and reversed direction in PADC CR-39 SSNTDs,” *Radiat. Meas.*, vol. 44, no. 9–10, pp. 766–774, Oct. 2009, doi: 10.1016/j.radmeas.2009.10.007.
- [9] D. Nikezic and K. N. Yu, “Computer program TRACK_TEST for calculating parameters and plotting profiles for etch pits in nuclear track materials,” *Comput. Phys. Commun.*, vol. 174, no. 2, pp. 160–165, Jan. 2006, doi: 10.1016/j.cpc.2005.09.011.
 - [10] D. Nikezic and K.N. Yu, *Computer simulation of radon measurements with nuclear track detectors*. Computer Physics Research Trends 3, 2007.
 - [11] A. A. Azooz and M. A. Al-Jubbori, “Alpha particles energy estimation from track diameter development in a CR-39 detector,” *Appl. Radiat. Isot.*, vol. 115, pp. 74–80, Sep. 2016, doi: 10.1016/j.apradiso.2016.06.008.
 - [12] M. A. Al-Jubbori, “Empirical model of alpha particle track length in CR-39 detector,” *Nucl. Instruments Methods Phys. Res. Sect. A Accel. Spectrometers, Detect. Assoc. Equip.*, vol. 871, pp. 54–58, Nov. 2017, doi: 10.1016/j.nima.2017.07.049.
 - [13] M. A. Al-Jubbori, M. Fromm, and E. M. Awad, “Strong etching formulation (time and rate) for PADC with deep depth bulk etch rate study,” *Nucl. Instruments Methods Phys. Res. Sect. A Accel. Spectrometers, Detect. Assoc. Equip.*, vol. 1005, no. December 2020, p. 165402, Jul. 2021, doi: 10.1016/j.nima.2021.165402.
 - [14] A. A. Azooz, S. H. Al-Nia’emi, and M. A. Al-Jubbori, “Empirical parameterization of CR-39 longitudinal track depth,” *Radiat. Meas.*, vol. 47, no. 1, pp. 67–72, Jan. 2012, doi: 10.1016/j.radmeas.2011.10.015.
 - [15] A. A. Azooz, D. Hermsdorf, and M. A. Al-Jubbori, “New approach of modeling charged particles track development in CR-39 detectors,” *Radiat. Meas.*, vol. 58, pp. 94–100, Nov. 2013, doi: 10.1016/j.radmeas.2013.08.012.
 - [16] A. A. Azooz and M. A. Al-Jubbori, “Interrelated temperature dependence of bulk etch rate and track length saturation time in CR-39 detector,” *Nucl. Instruments Methods Phys. Res. Sect. B Beam Interact. with Mater. Atoms*, vol. 316, pp. 171–175, Dec. 2013, doi: 10.1016/j.nimb.2013.09.001.
 - [17] D. Nikezic, M. Ivanovic, and K. N. Yu, “A computer program TRACK_P for studying proton tracks in PADC detectors,” *SoftwareX*, vol. 5, pp. 74–79, 2016, doi: 10.1016/j.softx.2016.04.006.
 - [18] B. Daci, K. Tushe-Bode, E. Bylyku, and D. Prifti, “Study of optimal etching conditions of passive radon detectors (SSNTD’s Cr-39),” 2019, vol. 160025, no. February, p. 160025, doi: 10.1063/1.5091352.
 - [19] Y. Khlile and M. Al-Jubbori, “Investigate Oblique Incident Alpha Particle Tracks on CR-39 Detector,” *J. Educ. Sci.*, vol. 29, no. 3, pp. 196–210, Sep. 2020, doi: 10.33899/edusj.2020.127268.1081.
 - [20] S. Malo, Y. Qasim, and M. Al-Jubbori, “Study of nuclear track parameters of normal incident alpha particles on CR-39 detector,” *J. Educ. Sci.*, vol. 30, no. 2, pp. 110–120, Mar. 2021, doi: 10.33899/edusj.2021.129461.1139.
 - [21] V. R. Oganessian, V. V. Trofimov, M. Danziger, B. Dörschel, D. Hermsdorf, and O. L. Orelovitch, “Proton tracks and the formation of pores in poly[diethylene glycol bis-(allyl carbonate)],” *Radiat. Meas.*, vol. 40, no. 1, pp. 32–36, Sep. 2005, doi: 10.1016/j.radmeas.2005.02.002.
 - [22] A. A. Azooz and M. A. Al-Jubbori, “Alpha particles energy estimation from track diameter development in a CR-39 detector,” *Appl. Radiat. Isot.*, vol. 115, pp. 74–80, 2016, doi: 10.1016/j.apradiso.2016.06.008.
 - [23] K. C. C. Tse, F. M. F. Ng, and K. N. Yu, “Photo-degradation of PADC by UV radiation at various wavelengths,” *Polym. Degrad. Stab.*, vol. 91, no. 10, pp. 2380–2388, Oct. 2006, doi: 10.1016/j.polymdegradstab.2006.03.017.
 - [24] K. C. C. Tse, D. Nikezic, and K. N. Yu, “Effects of UVC irradiation on alpha-particle track parameters in CR-39,” *Radiat. Meas.*, vol. 43, pp. S98–S101, Aug. 2008, doi: 10.1016/j.radmeas.2008.03.029.
 - [25] B. Jaleh, A. Nasri, N. Shahbazi, and H. Nikfarjad, “Surface properties of UV irradiated CR-39 polymer before and after chemical etching and registration of fingerprints on CR-39,” *Radiat. Meas.*, vol. 101, pp. 22–28, Jun. 2017, doi: 10.1016/j.radmeas.2017.04.020.

- [26] Y. Y. Kassim and R. B. Alkhayat, "Influence of UV irradiation on the diameters and depths of alpha-particle tracks in CR-39 detectors," *Nucl. Instruments Methods Phys. Res. Sect. B Beam Interact. with Mater. Atoms*, vol. 503, no. July, pp. 6–10, Sep. 2021, doi: 10.1016/j.nimb.2021.07.005.
- [27] D. Nikezic, J. P. Y. Ho, C. W. Y. Yip, V. S. Y. Koo, and K. N. Yu, "Feasibility and limitation of track studies using atomic force microscopy," *Nucl. Instruments Methods Phys. Res. B*, vol. 197, pp. 293–300, 2002.
- [28] J. F. Ziegler, M. D. Ziegler, and J. P. Biersack, "SRIM – The stopping and range of ions in matter (2010)," *Nucl. Instruments Methods Phys. Res. Sect. B Beam Interact. with Mater. Atoms*, vol. 268, no. 11–12, pp. 1818–1823, Jun. 2010, doi: 10.1016/j.nimb.2010.02.091.
- [29] S. Balestra *et al.*, "Bulk etch rate measurements and calibrations of plastic nuclear track detectors," *Nucl. Instruments Methods Phys. Res. Sect. B Beam Interact. with Mater. Atoms*, vol. 254, no. 2, pp. 254–258, Jan. 2007, doi: 10.1016/j.nimb.2006.11.056.
- [30] S. Manzoor *et al.*, "Nuclear Track Detectors for Environmental Studies and Radiation Monitoring," *Nucl. Phys. B - Proc. Suppl.*, vol. 172, pp. 92–96, Oct. 2007, doi: 10.1016/j.nuclphysbps.2007.07.017.
- [31] D. Sinha, R. Mishra, S. P. Tripathy, and K. K. Dwivedi, "Effect of high gamma doses on the etching behaviour of different types of PADC detectors," *Radiat. Meas.*, vol. 33, pp. 8–12, 2001.

تأثير الأشعة فوق البنفسجية وجسيمات-ألفا على كاشف الأثر النووي CR-39

زيتب حاتم محي الدين¹، مشتاق عبد داود الجبوري^{2*}

^{2,1} قسم الفيزياء، كلية التربية للعلوم الصرفة، جامعة الموصل، الموصل، العراق

الخلاصة :

في هذا البحث حسب معدل القسط العام بطرق مختلفة منها: طريقة السمك المزال، وطريقة ثبوت طول الأثر إضافة إلى طريقة طول-قطر الأثر، استخدم كاشف-CR-39 ذو منشاً بريطاني UK (Page Moldings Pershore) وبسمك 200 μm حيث قطع إلى عدة أجزاء ذات مساحة ($1 \times 1\text{cm}^2$) من أجل الحصول على الأثار المكونة نتيجة التشعيع بجسيمات الفا والأشعة فوق البنفسجية، حيث شمع بجسيمات الفا من مصدر الأمريشيوم ^{241}Am بطاقة 2.6MeV (70 $\pm 1^\circ\text{C}$). اخذت الأطوال السليمة الناتجة عن التشعيع باثار جسيمات الفا ذات الانحراف القليل عند السقوط العمودي على سطح الكاشف. الأثار المتكونة قشتطت بزمن دوري وفترات دورية تراوحت 15 دقيقة عن طريق المجهر البصري والمثبت عليه كاميرا مربوطة على الحاسوب الشخصي.. في هذا البحث وجد ان معدل القسط العام V_B للحالة الاولى $1.227 \mu\text{m/h}$ وللحالة الثانية $2.035 \mu\text{m/h}$ للتشعيع بـألفا والتشعيع باشعة فوق البنفسجية ومن ثم الفا على التوالي.